

تحمل و حساسیت فیزیولوژیکی به تنش کم آبی در ارقام سیب زمینی (*Solanum tuberosum* L)

محمد الحوشان^۱، مرتضی زاهدی^{۲*}، علی اکبر رامین^۱ و محمد رضا سبزیعلیان^۲

^۱ گروه علوم باغبانی، دانشکده کشاورزی، دانشگاه صنعتی اصفهان

^۲ گروه زراعت و اصلاح نباتات، دانشکده کشاورزی، دانشگاه صنعتی اصفهان

(تاریخ دریافت: ۱۳۹۶/۰۹/۲۹، تاریخ پذیرش نهایی: ۱۳۹۷/۰۱/۲۶)

چکیده

در این پژوهش، تأثیر تنش کم آبی بر ویژگی‌های فیزیولوژیک ده رقم سیب زمینی (آگریا، آریندا، مارفونا، بانبا، بون، سانتا، میلوا، ساتینا، جلی و اسپریت) در مرحله رشد رویشی در گلخانه دانشکده کشاورزی دانشگاه صنعتی اصفهان در سال ۱۳۹۵ مورد بررسی قرار گرفت. تیمارهای آزمایشی شامل دو سطح آبیاری بر اساس ۳۰ و ۸۰ درصد تخلیه رطوبت قابل استفاده در خاک بود. در اثر تنش آب کارایی کوانتومی فتوسیستم II، فتوستتوز، هدایت روزنه‌ای، تعرق، کارایی مصرف آب، کلروفیل a، کلروفیل b، کلروفیل کل، کاروتنوئید و وزن خشک گیاه کاهش، ولی غلظت دی اکسید کربن در حفره زیر روزنه، نسبت کلروفیل (a/b)، و نسبت کلروفیل به کاروتنوئید افزایش یافت. تفاوت ارقام از نظر غالب صفات مورد ارزیابی معنی‌دار بود. برهمکنش رژیم آبیاری و رقم بر میزان فتوستتوز، غلظت دی اکسید کربن در حفره زیر روزنه، هدایت روزنه‌ای، کلروفیل a، نسبت کلروفیل a/b، نسبت کلروفیل کل به کاروتنوئید و وزن خشک گیاه معنی‌دار بود. در هر دو تیمار شاهد و تنش بیشترین وزن خشک گیاه برای ارقام آگریا و ساتینا و کمترین آن برای رقم بون بدست آمد. در اثر تنش کم آبی بیشترین میزان کاهش وزن خشک گیاه برابر ۷۷ و ۷۶ درصد در ارقام بون و اسپریت و کمترین آن برابر ۳۵ درصد در رقم سانتا مشاهده شد. همچنین بیشترین میزان افزایش در فعالیت آنزیم کاتالاز برابر ۴۱۰ و ۲۴۳ درصد در ارقام بون و جلی و کمترین آن برابر ۸۵ درصد در رقم ساتینا حاصل شد. در حالیکه بیشترین میزان افزایش در فعالیت آنزیم پراکسیداز برابر ۳۹۳ و ۳۰۸ درصد در ارقام بون و بانبا و کمترین آن برابر ۸۶ درصد در رقم میلوا مشاهده شد. براساس نتایج آنالیز بای پلات و شاخص تحمل به تنش (STI) ارقام آگریا، ساتینا، مارفونا، اسپریت و سانتا به ترتیب در مقایسه با دیگر ارقام مورد مطالعه سیب زمینی در واکنش به تنش کم آبی اعمال شده در مرحله رشد رویشی متحمل تر بودند.

واژه‌های کلیدی: ارقام سیب زمینی، تنش کم آبی، فتوستتوز، کلروفیل، کاروتنوئید، هدایت روزنه‌ای

مقدمه

(al., 2007). منشأ اصلی سیب زمینی ارتفاعات سلسله کوه‌های آند به ارتفاع ۱۲۰۰ تا ۱۸۰۰ متری در آمریکای جنوبی (کشورهای پرو، بولیوی، کلمبیا و اکوادور) است و سابقه کشت آن در این منطقه به حدود ۷۰۰۰ سال پیش می‌رسد

سیب زمینی با نام علمی *Solanum tuberosum* L. گیاهی یکساله از خانواده Solanaceae و اتوتتراپلوئید با ۴۸ کروموزوم است (ترکش اصفهانی، ۱۳۸۴؛ Singh, 2007; Vreugdenhil et

دارد. در سطح سلول، غشا سلولی به تنش آب بسیار حساس است و در اثر تنش، به واسطه کاهش سنتز، محتوای لیپیدها کاهش می‌یابد (Thangadurai *et al.*, 2007). به علاوه، در تنش کم آبی رنگدانه‌های فتوسنتزی و کاروتنوئیدها تخریب شده و در این شرایط کلروفیل سریع‌تر از کاروتنوئیدها تخریب می‌شود (Monakhova and Chernyadev, 2002 and Yordanov *et al.*, 2000).

تنش‌های محیطی با تأثیر مستقیم و غیر مستقیم بر وضعیت آب گیاه باعث مختل شدن عمل فتوسنتز و نهایتاً القای تنش اکسیداتیو در گیاهان می‌شوند (Breusegem *et al.*, 2001; Mittler, 2002). برای پرهیز از اثرات مخرب و آسیب اکسیداتیو ناشی از تولید گونه‌های فعال اکسیژن به‌ویژه در شرایط تنش، گیاهان مجهز به سیستم دفاعی آنتی‌اکسیدانی کار آمد به منظور خاموش سازی رادیکال‌های آزاد می‌باشند، که متشکل از اجزای آنتی‌اکسیدانی آنزیمی و غیر آنزیمی است. از اجزای آنتی‌اکسیدانی غیر آنزیمی می‌توان به آسکوربات، گلوکاتایون، آلفاتوکفرول و بتاکاروتن اشاره کرد. از جمله آنزیم‌های آنتی‌اکسیدانی سوپر اکسید دیسموتاز، آسکوربات پراکسیداز، کاتالاز و پراکسیداز می‌باشند. سازوکار دفاعی، اغلب از همکاری آنزیم‌های آنتی‌اکسیدان و آنتی‌اکسیدان‌های غیر آنزیمی تشکیل شده است (Mittler *et al.*, 2004).

مطالعات باقری و همکاران (۱۳۹۳) بر روی رقم برون و Farhad و همکاران (۲۰۱۱) بر روی رقم مارفونا نشان داد که تحت شرایط تنش کم آبی میزان کلروفیل برگ در سبب زمینی کاهش می‌یابد. همچنین، تنش کم آبی در هر دو سطح بیوشیمیایی و فتوشیمیایی بر مکانیسم‌های فتوسنتزی تأثیر می‌گذارد (Monakhova and Chernyadev, 2002 and Yordanov *et al.*, 2000). در شرایط تنش، روزه‌های گیاه بسته شده، غلظت دی‌اکسید کربن در بافت مزوفیل کاهش یافته و به دنبال این وضعیت واکنش‌های تاریکی فتوسنتز مختل شده و محصولات حاصل از واکنش‌های روشنایی، که شامل ATP و NADPH می‌باشد، مصرف نمی‌شوند. در چنین شرایطی اکسیژن در مسیر زنجیره انتقال الکترون به عنوان جانشین

(Singh, 2007; Singh and Kaur, 2009). این گیاه به عنوان یکی از مهمترین گیاه زراعی جهان بعد از گندم، برنج و ذرت در جایگاه چهارم از نظر اهمیت قرار دارد (Singh and Kaur, 2009). سطح زیر کشت سیب زمینی در سال ۲۰۱۴ در دنیا حدود ۱۹ میلیون هکتار و تولید آن به ۳۸۲ میلیون تن رسید. این مقادیر برای ایران حدود ۱۵۸ هزار هکتار و ۴/۷ میلیون تن گزارش شده است (Fao, 2014). در حال حاضر، کشت سیب زمینی در اکثر نقاط کشور متداول است. استان‌ها و شهرستان‌های همدان، اردبیل، اصفهان، آذربایجان شرقی، خراسان، گلستان، جیرفت و کهنوج، سمنان، فارس و تهران به ترتیب مهمترین تولید کنندگان سیب زمینی آبی در کشور به شمار می‌روند (خواجه پور، ۱۳۸۵). سهم استان اصفهان ۱۲ درصد از تولید کل کشور می‌باشد. ارقام آگریا، مارفونا، سانته، بون و آریندا عمده‌ترین ارقام سیب زمینی در استان اصفهان هستند.

عملکرد گیاهان زراعی و باغی وابسته به عوامل محیطی متعدد می‌باشد. رطوبت، تابش، دما و مواد غذایی بسته به مقدار آنها در محیط و مرحله رشد می‌توانند رشد و نمو گیاه را افزایش یا کاهش دهند (Mahajan and Tuteja, 2005). هر گونه عامل محدود کننده خارجی که سبب عدم رسیدن توان تولیدی گیاه به پتانسیل ژنتیکی آن گردد، تنش محسوب می‌شود. تنش‌های محیطی از جمله تنش کم آبی و شوری اثرات منفی بر رشد گیاهان می‌گذارند و از طریق تغییرات متابولیکی گیاه باعث کاهش عملکرد می‌شوند (Jenks *et al.*, 2007; Thangadurai *et al.*, 2007). افزایش مقاومت گیاهان به این تنش‌ها یکی از اهداف اصلاح نباتات به حساب می‌آید.

تنش کم آبی از جمله مهمترین عوامل محیطی است که موجب کاهش محتوا و پتانسیل آب سلول می‌شود و فعالیت‌های فیزیولوژیکی گیاه شامل رشد سلول، ترکیب دیواره سلولی، تشکیل پلاستید، متابولیسم نیتروژن، تثبیت دی‌اکسید کربن، تجمع پرولین و کربوهیدرات‌ها را تحت تأثیر قرار می‌دهد. میزان تأثیر تنش کم آبی بر این فرآیندها به عواملی از جمله شدت و مدت تنش، مرحله رشدی گیاه و گونه بستگی

این آزمایش گلدانی با هدف ارزیابی تأثیر تنش کم آبی بر ارقام سیب زمینی بصورت فاکتوریل در قالب طرح کاملاً تصادفی در ۴ تکرار در گلخانه دانشکده کشاورزی دانشگاه صنعتی اصفهان طی ماه‌های بهمن و اسفند سال ۱۳۹۵ انجام شد. در این آزمایش غده‌های ۱۰ رقم سیب زمینی شامل آگریا، آریندا، مارفونا، بانبا، بون، ساتته، میلوا، ساتینا، جلی و اسپریت در دو سطح آبیاری براساس ۳۰ و ۸۰٪ تخلیه رطوبت قابل استفاده در خاک مورد مطالعه قرار گرفتند. مشخصات ارقام معرفی شده سیب زمینی، که توسط وزارت جهاد کشاورزی ارائه شده، در جدول ۱ ثبت گردیده است. بدین منظور ابتدا غده‌های ارقام سیب زمینی کلاس سوپر الیت از مرکز تحقیقات کشاورزی اصفهان دریافت و در سردخانه دانشکده کشاورزی در دمای ۴ درجه سانتی گراد تا مرحله اجرای پژوهش نگهداری شدند. سپس خاک گلدان‌ها از مخلوطی شامل ماسه، خاک مزرعه و کود حیوانی پوسیده به ترتیب به نسبت ۴:۱:۱ تهیه گردید. برای جلوگیری از سرایت بیماری‌ها، ضد عفونی خاک مرطوب با قارچ کش متام سدیم صورت گرفت. قبل از کاشت، غده‌های ارقام سیب زمینی از سردخانه خارج و در شرایط تاریکی در دمای اتاق به مدت دو هفته تا ظهور جوانه‌ها بر روی غدد نگهداری شدند. سپس در هر گلدان یک غده در عمق حدود ۸ سانتی متر کشت گردید. قبل از اعمال تنش کم آبی، کلیه گلدان‌ها پس از تخلیه ۳۰ درصد رطوبت قابل استفاده آبیاری شدند. تیمار تنش کم آبی (آبیاری پس از ۸۰ درصد تخلیه رطوبت خاک) در مرحله ۶ تا ۸ برگی (۳۰ روز بعد از کاشت) اعمال شد. سپس دفعات آبیاری بعدی همراه با استفاده از کود فلورال (۲۰-۲۰-۲۰) به میزان ۱ در هزار صورت گرفت. برای تعیین زمان آبیاری از سامانه اتوماتیک اندازه‌گیری و ثبت رایانه‌ای رطوبت و دمای خاک (IDRG SMS-T1) استفاده گردید. نمونه‌گیری و اندازه‌گیری صفات بر روی گیاهانی که ۴ هفته پس از اعمال تنش کم آبی برداشت شدند، انجام گرفت.

روش اندازه‌گیری صفات، تبادلات گازی: تبادلات گازی

در برگ توسط دستگاه قابل حمل مدل ال. سی. آی ساخت

پذیرنده الکترون عمل نموده و باعث به وجود آمدن رادیکال‌های آزاد اکسیژن شامل سوپر اکسید (O_2^-)، پراکسید هیدروژن (H_2O_2) و هیدروکسید (OH^-) می‌گردد (Breusegem *et al.*, 2001). گونه‌های فعال اکسیژن، فرآیندهای اکسیداتیو مخربی از قبیل تخریب کلروفیل، پراکسیداسیون لیپیدهای غشای سلولی و غیر طبیعی شدن ساختمان پروتئین‌ها را موجب می‌شوند (Breusegem *et al.*, 2001 and Mittler, 2002). یکی از شاخص‌های مرتبط با مقاومت و حساسیت به تنش کم آبی فلورسانس کلروفیل (Fv/Fm) است که بیانگر حداکثر کارایی کوانتومی فتوسیستم II می‌باشد و بطور گسترده‌ای برای نشان دادن اختلال ایجاد شده در مراکز فتوشیمیایی استفاده شده است (Yamasaki *et al.*, 2002). همچنین تحقیقات Shi و همکاران (۲۰۱۵) در رابطه با اثر متقابل شاهد و کم آبی نشان داد که فعالیت آنزیم پراکسیداز برابر ۵۶، ۹۶ و ۴۸ درصد و فعالیت آنزیم کاتالاز برابر ۱۱۷، ۱۲۵ و ۱۱۰ درصد به ترتیب در شرایط کم آبی نسبت به تیمار شاهد افزایش یافتند.

تحقیقات متعددی در رابطه با بررسی واکنش ارقام مختلف سیب زمینی به شرایط تنش کم آبی انجام شده است. با این حال، بسیاری از این مطالعات با استفاده از تعداد محدودی ژنوتیپ انجام شده است (Lahlou *et al.*, 2003; Wegener and Jansen, 2013; Shi *et al.*, 2015). از این جهت ضرورت دارد که واکنش دامنه وسیع‌تری از ارقام به شرایط تنش مورد ارزیابی قرار گیرد. لذا، با توجه به اهمیت کشت سیب زمینی در ایران، تغییرات آب و هوایی و خشکسالی‌های اخیر و نیز کمبود منابع آبی، این تحقیق جهت بررسی واکنش ده رقم از رایج‌ترین ارقام سیب زمینی مورد کشت در ایران به تنش کم آبی به منظور تعیین رابطه بین مقاومت ارقام با صفات مورد اندازه‌گیری در این آزمایش در راستای شناخت بهتر مبنای فیزیولوژیکی و بیوشیمیایی مقاومت به خشکی در سیب زمینی انجام شد.

مواد و روش‌ها

جدول ۱- نام و مشخصات ارقام معرفی شده سیب زمینی (وزرات جهاد کشاورزی)

رقم	دوره رشد	نوع مصرف	رنگ گوشت
اسپریت	نیمه زودرس	تازه خوری	نسبتاً زرد
اگریا	نیمه دیررس	فرنج فرایز	زرد
آریندا	نیمه زودرس	تازه خوری	زرد روشن
بورن	میان رس	تازه خوری و خلال	نسبتاً زرد
جلی	نیمه دیررس	تازه خوری و خلال	زرد
ساتینا	نیمه دیررس	تازه خوری و فرنج فرایز	زرد
ساته	نیمه زودرس	تازه خوری و چپس آن قابل قبول می باشد	زرد روشن
مارفونا	نیمه زودرس	تازه خوری	زرد روشن
بانبا	نیمه دیر رس	تازه خوری	نسبتاً زرد
میلوا	میان رس	تازه خوری	نسبتاً زرد

عصاره حاصل به مدت ۱۰ دقیقه با سرعت ۲۰۰۰ دور در دقیقه سانتریفیوژ شد. از محلول هر لوله ۴ میلی لیتر درون کووت ریخته شد و میزان جذب نور با استفاده از دستگاه اسپکتروفوتومتر (مدل UV-600 A) در سه طول موج ۶۴۴/۸، ۶۶۱/۶ و ۴۷۰ نانومتر قرائت گردید. سپس میزان کلروفیل a، کلروفیل b و کلروفیل کل بر حسب میلی گرم بر گرم وزن تر نمونه از طریق رابطه های زیر محاسبه شد:

$$\text{Chl a} = 11.24 \times A_{661.6} - 2.04 \times A_{644.8}$$

$$\text{Chl b} = 20.13 \times A_{644.8} - 4.19 \times A_{661.6}$$

$$\text{Chl a+b} = 7.05 \times A_{661.6} + 18.09 \times A_{644.8}$$

در این رابطه: Chl a غلظت کلروفیل a، Chl b غلظت کلروفیل b، Chl a+b میزان کلروفیل کل، A661.6 جذب در طول موج ۶۶۱/۶ نانومتر و A644.8 جذب در طول موج ۶۴۴/۸ نانومتر می باشد. میزان کاروتنوئید نیز بر حسب میلی گرم بر گرم وزن تر نمونه از طریق رابطه زیر محاسبه گردید:

$$\text{Carotenoides} = (1000 \times A_{470} - 1.90 \text{Ca} - 63.14 \text{Cb}) / 214$$

در این رابطه: A470 جذب در طول موج ۴۷۰ نانومتر است.

وزن خشک گیاه: بدین منظور پس از برداشت اندام هوایی، ریشه و غده گیاهان مربوط به هر رقم سیب زمینی و هر تکرار به تفکیک در پاکت های کاغذی قرار داده شدند و به مدت ۷۲ ساعت داخل آون با دمای ۷۵ درجه سانتیگراد خشک گردیدند. سپس نمونه ها با استفاده از ترازوی دقیق توزین شدند.

کشور انگلستان بر روی جوان ترین برگ بالغ در هر گیاه و در حالت اتصال برگ به گیاه اندازه گیری گردید.

کارائی کوانتومی فتوسیستم II: میزان فلورسانس کلروفیل

کلیه نمونه ها در پایان آزمایش با استفاده از دستگاه فلورسانس سنج (مدل RS232) ساخت کشور انگلستان، در مرحله تاریکی اندازه گیری شد. بدین منظور از هر گیاه بالاترین برگ بالغ که بدون نشانه های آسیب دیدگی بود، انتخاب و به مدت ۳۰ دقیقه به وسیله گیره های دستگاه تاریکی داده شد و تمام اندازه گیری ها در بین ساعات ۱۰ و ۱۳ در شرایط شدت نور مناسب صورت گرفت. کارائی کوانتومی فتوسیستم II (Fv/Fm) به وسیله دستگاه فلورسانس سنج و از محل میانه برگ و ما بین رگبرگ اصلی و لبه برگ اندازه گیری گردید. پارامتر اندازه گیری شده شامل بیشینه پتانسیل کارائی کوانتومی فتوسیستم II: $Fv/Fm = (Fm - F_0) / F_m$ بود (Reddy et al., 2004).

محتوای کلروفیل و کاروتنوئید: پس از ۴ هفته از اعمال

تنش و قبل از برداشت بوته ها، میزان کلروفیل برگ ها به روش Lichtenthaler (۱۹۸۷) با استفاده از حلال استون ۱۰۰٪ استخراج گردید. در این روش ۰/۵ گرم نمونه برگی در هاون چینی ریخته و به آن مقدار ۱۰ میلی لیتر استون در دو مرحله اضافه گردید. در طی این مراحل نمونه کاملاً کوبیده شده و هر بار عصاره حاصل به وسیله پارچه لمل صاف گردید. سپس

نتایج و بحث

تبادلات گازی: برهمکنش اثرات رژیم آبیاری و رقم بر میزان فتوستتوز، هدایت روزنه‌ای و غلظت دی اکسید کربن در حفره زیر روزنه در سطح احتمال ۱ درصد معنی دار بود (جدول ۲). در تیمار آبیاری براساس ۸۰٪ در مقایسه با تیمار آبیاری براساس ۳۰٪ تخلیه آب قابل دسترس در خاک، میزان فتوستتوز و هدایت روزنه‌ای در ارقام مورد مطالعه کاهش ولی غلظت دی اکسید کربن در حفره زیر روزنه افزایش یافت (جدول ۵). بیشترین و کمترین میزان کاهش فتوستتوز برابر ۶/۹۴ و ۸/۸۳ (۸۳/۸) درصد به ترتیب در ارقام اسپریت و (بورن و سانه) و هدایت روزنه‌ای برابر ۹/۸۲ و ۳/۷۳ درصد در ارقام ساتینا و آگریا، ولی بیشترین و کمترین میزان افزایش غلظت دی اکسید کربن در حفره زیر روزنه برابر ۱۶/۴ و ۹/۵۹ درصد در ارقام جلی و ساتینا حاصل شد.

اثر رژیم آبیاری بر میزان تعرق و کارایی مصرف آب در سطح احتمال ۱ درصد معنی دار ولی اثر رقم و برهمکنش اثرات رژیم آبیاری و رقم بر این صفات معنی دار نبود (جدول ۲). در اثر تنش کم آبی میزان تعرق و کارایی مصرف آب به ترتیب ۵/۶۱ و ۴/۷۳ درصد کاهش یافت (جدول ۳). بسته شدن روزنه‌ها، کاهش هدایت روزنه‌ای، کاهش تعرق، کاهش غلظت دی اکسید کربن داخلی، پایین آمدن پتانسیل آب بافت‌های گیاهی و در نتیجه کاهش فتوستتوز معمول‌ترین واکنش‌های گیاه به تنش کم آبی می‌باشند که منجر به کاهش کارایی مصرف آب می‌شوند (Sairam *et al.*, 1997). در آزمایش Cheng و همکاران (۲۰۱۳) در رابطه با تبادلات گازی گیاهان سیب زمینی در شرایط تنش کم آبی ایجاد شده با استفاده از دو سطح پلی اتیلن گلیکول (۱۰ و ۲۰٪)، در اثر تنش اسمزی میزان فتوستتوز، هدایت روزنه‌ای و تعرق کاهش یافت. در حالیکه غلظت دی اکسید کربن در حفره زیر روزنه در شرایط تنش ملایم (۱۰٪) کاهش ولی در شرایط تنش شدید (۲۰٪) مجدداً افزایش یافت. رفتار عمومی گیاهان در شرایط تنش، کاهش رشد و تولید گیاه است (Farooq *et al.*, 2009). Li و همکاران (۲۰۱۲) گزارش نمودند که میزان دی اکسید

کاتالاز: فعالیت این آنزیم با استفاده از محلول واکنش به صورت ۳ میلی‌لیتر بافر فسفات به‌اضافه ۵۰ میکرولیتر عصاره گیاهی و ۴/۵۱ میکرولیتر آب اکسیژنه (H_2O_2) ۳۰٪ بر اساس روش آبی در طول موج ۲۴۰ نانومتر به مدت یک دقیقه با استفاده از دستگاه طیف سنج (مدل Beckman Du 530) اندازه‌گیری شد (Aebi, 1984).

پراکسیداز: روش اندازه‌گیری این آنزیم همانند آنزیم کاتالاز بود. با این تفاوت که بافر استخراج این آنزیم در داخل کوئتهای شاهد و نمونه علاوه بر ۴/۵۱ میکرولیتر از آب اکسیژنه حاوی ۳/۳۵ میکرولیتر گاپاکول در هر کوئته بود. طول موج جذبی طیف سنج ۴۷۰ نانومتر تنظیم شد (Rao *et al.*, 1996).

فعالیت آنزیم‌های کاتالاز و پراکسیداز طبق رابطه زیر تعیین گردید:

$$\text{Enzyme activity (EA)} = \Delta\text{abs} \times 1000 \times (1/A \times EC) \times (B/C)$$

$$(\mu\text{mol min}^{-1}\text{g FW}) = \text{unit min}^{-1}\text{g FW}$$

در این رابطه: Δabs اختلاف شدت جذب طول موج خاص هر آنزیم در زمان‌های صفر و ۶۰ ثانیه. A: مقدار عصاره آنزیمی موجود در محلول واکنش (میکرولیتر). EC: ضریب خاموشی هر آنزیم (کاتالاز ۴/۳۹ و پراکسیداز ۶/۲۶ $\text{mm}^{-1}\text{cm}^{-1}$). B: مقدار بافر استخراج به کار رفته. C: وزن نمونه تازه بر حسب گرم. همچنین کلیه فعالیت آنزیم‌های آنتی اکسیدانی بر اساس پروتئین طبق روش Bradford (۱۹۷۶) محاسبه گردیده است.

شاخص تحمل به تنش: به منظور تعیین بهترین ارقام متحمل به کم آبی از شاخص تحمل به تنش (STI) استفاده شد که بصورت زیر محاسبه می‌شود. (Fernandez, 1992)

$$\text{STI} = (Y_{pi} \times Y_{si}) / (\bar{Yp})$$

در این شاخص: Y_{si} و Y_{pi} به ترتیب عملکرد (تولید ماده خشک) رقم تحت شرایط تیمار شاهد و تنش. \bar{Yp} میانگین عملکرد ارقام سیب زمینی تحت شرایط شاهد.

تجزیه و تحلیل داده‌ها: داده‌ها با استفاده از برنامه نرم افزار SAS و MSTATC و بر اساس طرح کامل تصادفی و آزمایش فاکتوریل آنالیز شدند. مقایسه میانگین تیمارها با استفاده از روش LSD انجام شد.

جدول ۲- نتایج تجزیه واریانس اثر عوامل آزمایشی بر صفات کارآئی کوانتومی فتوسیستم II (Fv/Fm)، فتوستتز، غلظت دی اکسید کربن در حفره زیر روزنه، هدایت روزنه‌ای، تعرق، کارائی مصرف آب، محتوای کلروفیل a.

میانگین مربعات								منابع تغییرات
کلروفیل a	کارائی مصرف آب	تعرق	هدایت روزنه‌ای	غلظت دی اکسید کربن در حفره زیر روزنه	فتوستتز	Fv/fm	درجه آزادی	
۰/۱۸۴**	۴۷۲**	۴۳/۱**	۰/۱۱۹۳**	۴۶۰۲۵۸**	۳۷۸۱**	۰/۷۵۳**	۱	رژیم آبیاری
۰/۰۰۲	۲/۰۵	۰/۶۳	۰/۰۰۰۱۴	۳۹۲۵	۵/۰۶	۰/۰۰۶	۳	تکرار
۰/۰۲۳**	۰/۰۷۱ ns	۰/۲۷ ns	۰/۰۰۱۱**	۹۶۱۹**	۱۲/۱**	۰/۰۰۴ ns	۹	رقم
۰/۰۰۵**	۱/۵۴ ns	۰/۲۶ ns	۰/۰۰۰۶۲**	۵۸۹۴**	۱۳/۴**	۰/۰۰۱۱ ns	۹	رژیم آبیاری × رقم
۰/۰۰۱۵	۱/۰۶	۰/۱۷۶	۰/۰۰۰۰۷۵	۱۴۶۲	۳/۸۰	۰/۰۰۳۱	۵۷	خطا

** معنی دار بودن در سطح احتمال ۱ درصد و ns معنی دار نبودن است.

ادامه جدول ۲- نتایج تجزیه واریانس اثر عوامل آزمایشی بر صفات کلروفیل b، کلروفیل کل، کاروتنوئیدها، نسبت کلروفیل a/b، نسبت کلروفیل به کاروتنوئید، وزن خشک گیاه، آنزیم کاتالاز و پراکسیداز.

میانگین مربعات								منابع تغییرات	
پراکسیداز	کاتالاز	وزن خشک گیاه	نسبت کلروفیل به کاروتنوئید	نسبت کلروفیل a/b	کاروتنوئید	کلروفیل کل	کلروفیل b		درجه آزادی
۲۴۴/۷۹**	۲۵۱۵/۱**	۲۲۶۷/۵**	۳/۳۷**	۴/۵۳**	۰/۰۴۹**	۰/۶۳۷**	۰/۱۳۸**	۱	رژیم آبیاری
۰/۳۴۲	۵/۴۲	۲۹/۶۳	۰/۰۸	۰/۱۵	۰/۰۰۰۴	۰/۰۰۶	۰/۰۰۰۳	۳	تکرار
۸/۲۳**	۸۰/۸۵**	۸۰۰/۸۵**	۰/۹۹۲**	۰/۵۴۷**	۰/۰۰۴**	۰/۰۶۴**	۰/۰۱۳**	۹	رقم
۴/۶۵**	۴۲/۳۲**	۳۰۰/۸۵**	۰/۷۷۱**	۰/۳۹۸**	۰/۰۰۰۳ ns	۰/۰۰۶ ns	۰/۰۰۲ ns	۹	رژیم آبیاری × رقم
۰/۵۲۲	۳/۶۴	۳/۶۱	۰/۲۳	۰/۱۲۱	۰/۰۰۰۲	۰/۰۰۵	۰/۰۰۱۲	۵۷	خطا

** معنی دار بودن در سطح احتمال ۱ درصد و ns معنی دار نبودن است.

دی اکسید کربن را به همراه دارد، از مهمترین محدودیت‌هایی است که تنش آب بر فتوستتز وارد می‌کند. در این شرایط، کاهش جذب دی اکسید کربن می‌تواند منجر به افزایش حساسیت گیاه به آسیب نوری شود (Cornic and Massacci, 1996). تغییر محتوی رنگدانه‌های فتوستتزی، تخریب دستگاه فتوستتزی و اختلال در فعالیت آنزیم‌های چرخه کالوین به

کربن در حفره زیر روزنه در گیاه پنبه در تیمار کم آبی (۴۰٪ تخلیه آب نسبت به ۲۰٪) به طور معنی داری افزایش یافت. کاهش فتوستتز تحت تنش کم آبی به دلیل اختلال در دستگاه فتوستتزی و تسریع در پیر شدن برگ‌ها رخ می‌دهد (Wahid and Rasul, 2005). علاوه بر محدودیت‌های غیر روزنه‌ای، بسته شدن روزنه‌ها در اثر کم آبی که کاهش جذب

جدول ۳- مقایسه میانگین صفات کارائی کوانتومی فتوسیستم II (Fv/Fm)، تعرق (میلی مول H₂O / متر مربع / ثانیه)، کارائی مصرف آب (میکرومول CO₂ / میلی مول H₂O)، محتوای کلروفیل b، کلروفیل کل، کاروتنوئید (میلی گرم بر گرم وزن تر برگ) در دو رژیم آبیاری ۳۰ و ۸۰ درصد تخلیه رطوبت خاک.

درصد تخلیه رطوبت	Fv/fm	تعرق	کارائی مصرف آب	کلروفیل b	کلروفیل کل	کاروتنوئید
۳۰٪	۰/۷۷۷ ^a	۲/۳۹ ^a	۶/۶۲ ^a	۰/۲۱۹ ^a	۰/۶۷۱ ^a	۰/۱۵۳ ^a
۸۰٪	۰/۵۸۰ ^b	۰/۹۲۰ ^b	۱/۷۶ ^b	۰/۱۳۶ ^b	۰/۴۹۲ ^b	۰/۱۰۳ ^b
درصد تغییرات	۲۵/۴	۶۱/۵	۷۳/۴	۳۷/۹	۲۶/۷	۳۲/۷
LSD	۰/۰۴۱	۰/۴۳	۰/۷۸	۰/۰۱	۰/۰۴۱	۰/۰۱۱

برای هر صفت میانگین‌هایی که دارای حداقل یک حرف مشترک می‌باشند در سطح احتمال ۵ درصد آزمون LSD اختلاف معنی‌داری ندارند.

سائته، نسبت کلروفیل کل به کاروتنوئید برابر ۱۸/۹ و ۰/۰ و ۰/۴۵) درصد در ارقام اسپریت و (میلوا و آریندا) مشاهده شد. تأثیر رژیم آبیاری و رقم بر محتوای کلروفیل b، کلروفیل کل و کاروتنوئید در سطح احتمال ۱ درصد معنی‌دار ولی برهمکنش اثرات رژیم آبیاری و رقم بر این صفات معنی‌دار نبود (جدول ۲). در اثر تنش کم آبی میزان کلروفیل b، کلروفیل کل و کاروتنوئید به ترتیب ۳۷/۹، ۲۶/۷ و ۳۲/۷ درصد کاهش یافت (جدول ۳). بیشترین و کمترین محتوای کلروفیل b برابر ۰/۲۶ و ۰/۱۳۲ میلی گرم بر گرم وزن تر برگ به ارقام آگریا و میلوا، محتوای کلروفیل کل برابر ۰/۷۲۳ و ۰/۴۷۷ و ۰/۴۷۶) میلی گرم به ارقام آگریا و (آریندا و بورن)، محتوای کاروتنوئید برابر ۰/۱۷۷ و ۰/۱۰۲ میلی گرم در ارقام آگریا و بورن مشاهده شد (جدول ۴).

در آزمایش نجف زاده اصل و احسان پور (۱۳۹۱) که در آن دو رقم سیب زمینی Kenbec و Concord تحت غلظت‌های مختلف پلی اتیلن گلیکول PEG (صفر، ۲ و ۴ درصد) مورد ارزیابی قرار گرفتند، محتوای کلروفیل و کاروتنوئید در اثر تنش اسمزی ایجاد شده کاهش یافت. همچنین Anosheh و همکاران (۲۰۱۲) نشان دادند که محتوای کلروفیل a و b در گندم در شرایط تنش متوسط (آبیاری پس از ۳۵۷ میلی متر تبخیر) و شدید (۲۰۹ میلی متر) به طور معنی‌دار نسبت به تیمار شاهد (۴۱۷ میلی متر) کاهش یافت. در مطالعه دولت

عنوان علل اصلی کاهش عملکرد تحت تنش کم آبی محسوب می‌شوند (Monakhova and Chernyadev, 2002).

کارائی کوانتومی فتوسیستم II (Fv/Fm): تأثیر رژیم

آبیاری بر کارائی کوانتومی فتوسیستم II در سطح احتمال ۱ درصد معنی‌دار ولی اثر رقم و برهمکنش اثرات رقم و رژیم آبیاری بر این صفت معنی‌دار نبود (جدول ۲). در تیمار آبیاری ۸۰٪ در مقایسه با تیمار آبیاری ۳۰٪ تخلیه آب قابل دسترس در خاک، کارائی کوانتومی فتوسیستم II برابر ۲۵/۴ درصد کاهش یافت (جدول ۳). مطالعه Lu و همکاران (۲۰۱۰) نیز نشان دادند که میزان کارائی کوانتومی فتوسیستم II در گیاهان سیب زمینی شیرین در شرایط تنش کم آبی متوسط (۶۰٪ تخلیه) و شدید (۸۵٪ تخلیه آب قابل دسترس) کاهش می‌یابد.

کلروفیل و کاروتنوئید: برهمکنش اثرات رژیم آبیاری و

رقم بر محتوای کلروفیل a، نسبت کلروفیل (a/b) و نسبت کلروفیل کل به کاروتنوئید در سطح احتمال ۱ درصد معنی‌دار بود (جدول ۲). در تیمار آبیاری ۸۰٪ در مقایسه با تیمار آبیاری ۳۰٪ تخلیه آب قابل دسترس در خاک در ارقام مورد مطالعه محتوای کلروفیل a کاهش ولی نسبت کلروفیل (a/b) و نسبت کلروفیل به کاروتنوئید افزایش یافت (جدول ۵). بیشترین و کمترین میزان کاهش کلروفیل a برابر ۴۳/۲ و ۶/۸ درصد در ارقام سائته و ساتینا. همچنین بیشترین و کمترین میزان افزایش نسبت کلروفیل (a/b) برابر ۶۱ و ۴/۴ درصد در ارقام ساتینا و

جدول ۴- مقایسه میانگین صفات میزان کلروفیل b، کلروفیل کل، کاروتنوئیدها (میلی گرم بر گرم وزن تر برگ) در ارقام سیب زمینی

رقم	کلروفیل b	کلروفیل کل	کاروتنوئید
آگریا	۰/۲۶۰ ^a	۰/۷۲۳ ^a	۰/۱۷۷ ^a
آریندا	۰/۱۵۱ ^{de}	۰/۴۷۷ ^f	۰/۱۰۸ ^{ef}
مارفونا	۰/۱۸۷ ^{bc}	۰/۵۸۱ ^{cd}	۰/۱۱۸ ^{def}
بانبا	۰/۱۹۱ ^{bc}	۰/۶۳۱ ^{bc}	۰/۱۳۶ ^{bc}
بورن	۰/۱۳۷ ^{de}	۰/۴۷۶ ^f	۰/۱۰۳ ^f
ساتته	۰/۱۴۵ ^{de}	۰/۵۰۷ ^{ef}	۰/۱۲۲ ^{cde}
میلوا	۰/۱۳۲ ^e	۰/۵۱۲ ^{def}	۰/۱۰۹ ^{ef}
ساتینا	۰/۲۰۳ ^b	۰/۶۸۵ ^{ab}	۰/۱۳۶ ^{bc}
جلی	۰/۲۰۸ ^b	۰/۶۵۹ ^{ab}	۰/۱۴۹ ^b
اسپریت	۰/۱۶۸ ^{cd}	۰/۵۶۶ ^{cde}	۰/۱۲۹ ^{cd}
LSD	۰/۰۳۴	۰/۰۷۳	۰/۰۱۶

برای هر صفت میانگین‌هایی که دارای حداقل یک حرف مشترک می‌باشند در سطح احتمال ۵ درصد آزمون LSD اختلاف معنی‌داری ندارند.

آبادیان و همکاران (۱۳۸۸) محتوای کلروفیل a، b و کل در گیاه ذرت تحت شرایط تنش کم آبی بطور معنی‌دار کاهش یافت. در آزمایش Ebrahimiyan و همکاران (۲۰۱۳) بر روی گیاه Tall fescue نسبت کلروفیل a/b در شرایط تنش شدید کم آبی افزایش یافت که بیانگر تخریب سریع‌تر کلروفیل b نسبت به کلروفیل a می‌باشد.

فعالیت آنزیم‌های آنتی‌اکسیدانی: برهمکنش اثرات رژیم آبیاری و رقم بر فعالیت آنزیم‌های آنتی‌اکسیدانی کاتالاز و پراکسیداز در سطح احتمال ۱ درصد معنی‌دار بود (جدول ۲). در تیمار آبیاری ۸۰٪ در مقایسه با تیمار آبیاری ۳۰٪ تخلیه آب قابل دسترس در خاک فعالیت آنزیم‌های کاتالاز و پراکسیداز در ارقام مورد مطالعه افزایش یافت (جدول ۵). بیشترین و کمترین میزان افزایش برای فعالیت آنزیم کاتالاز برابر ۴۱۰ و ۸۵ درصد در ارقام بورن و ساتینا و برای فعالیت آنزیم پراکسیداز برابر ۳۹۳ و ۸۶ درصد در ارقام بورن و میلدا مشاهده شد.

وزن خشک گیاه: برهمکنش اثرات رژیم آبیاری و رقم بر وزن خشک گیاه در سطح احتمال ۱ درصد معنی‌دار بود (جدول ۲). در اثر تنش کم آبی وزن خشک گیاه در ارقام مورد مطالعه کاهش یافت (جدول ۵). بیشترین و کمترین میزان کاهش وزن خشک برابر (۷۶/۷، ۷۵/۷) و (۳۵/۲) درصد به ترتیب در ارقام (بورن و اسپریت) و ساتته مشاهده شد. در مطالعه خورشیدی بنام و همکاران (۱۳۸۱) نیز تأثیر برهمکنش رژیم آبیاری و رقم بر درصد ماده خشک و عملکرد سیب زمینی معنی‌دار بود، به طوری‌که پس از اعمال تنش (۶۰ و ۸۰

نتایج مطالعات نشان داده است که فعالیت آنزیم کاتالاز و پراکسیداز در شرایط کم آبی می‌تواند افزایش یابد (Shi et al.,

۲۰۱۳). در تیمار آبیاری ۸۰٪ در مقایسه با تیمار آبیاری ۳۰٪ تخلیه آب قابل دسترس در خاک فعالیت آنزیم‌های کاتالاز و پراکسیداز در ارقام مورد مطالعه افزایش یافت (جدول ۵). بیشترین و کمترین میزان افزایش برای فعالیت آنزیم کاتالاز برابر ۴۱۰ و ۸۵ درصد در ارقام بورن و ساتینا و برای فعالیت آنزیم پراکسیداز برابر ۳۹۳ و ۸۶ درصد در ارقام بورن و میلدا مشاهده شد.

نتایج مطالعات نشان داده است که فعالیت آنزیم کاتالاز و پراکسیداز در شرایط کم آبی می‌تواند افزایش یابد (Shi et al.,

جدول ۵- اثر متقابل رقم و رژیم آبیاری (۳۰ و ۸۰ درصد تخلیه رطوبت) بر صفات میزان فتوسنتز (میکرومول CO₂/متر مربع / ثانیه)، غلظت دی اکسید کربن در حفره زیر روزنه (میکرومول / مول)، هدایت روزنه‌ای (مول CO₂/متر مربع / ثانیه)، میزان کلروفیل a (میلی گرم بر گرم وزن تر برگ)، نسبت کلروفیل a/b.

ارقام	میزان فتوسنتز		غلظت دی اکسید کربن در حفره زیر روزنه		هدایت روزنه‌ای		کلروفیل a		نسبت کلروفیل	
	شاهد	کم آبی (/۸۰)	شاهد	کم آبی	شاهد	کم آبی	شاهد	کم آبی	شاهد	کم آبی
آگریا	۱۵/۴ ^{bc}	۱/۱۵ ^f	۱۶۳ ^{ef}	۲۷۱ ^{bc}	۰/۰۷۵ ^{cd}	۰/۰۲ ^e	۰/۴۷۸ ^{a-c}	۰/۴۴۵ ^{a-f}	۱/۵۸۳ ^g	۲/۳۳ ^{b-f}
آریندا	۱۹/۵ ^a	۱/۵۳ ^f	۸۳/۸ ^{hi}	۲۵۳ ^{bc}	۰/۱۰۸ ^b	۰/۰۲ ^e	۰/۳۷۳ ^{g-i}	۰/۲۸ ^{jk}	۲/۰۹ ^{e-g}	۲/۹۶ ^a
مارفونا	۱۲/۳۵ ^{de}	۱/۳۳ ^f	۹۹/۵ ^{gh}	۱۸۷ ^{de}	۰/۰۸۷ ^c	۰/۰۱۵ ^e	۰/۴۱۸ ^{c-g}	۰/۳۷۴ ^{g-i}	۲/۳۳ ^{b-f}	۲/۲ ^{c-f}
بامبا	۱۱/۷ ^e	۱/۴۷ ^f	۹۵/۳ ^{g-i}	۲۲۵ ^{cd}	۰/۰۷۷ ^{cd}	۰/۰۱۷ ^e	۰/۴۹۷ ^{ab}	۰/۳۸۴ ^{f-i}	۲/۱۶ ^{d-f}	۲/۷۶ ^{a-c}
بورن	۱۵/۸ ^b	۲/۵۷ ^f	۱۱۵ ^{f-h}	۳۷۱ ^a	۰/۱۱۵ ^{ab}	۰/۰۲۷ ^e	۰/۳۹۷ ^{e-h}	۰/۲۸۲ ^{jk}	۲/۳ ^{b-f}	۲/۹۹ ^a
سانته	۱۲/۷ ^{c-e}	۲/۰۷ ^f	۹۸/۰ ^{g-i}	۲۵۲ ^{bc}	۰/۰۷۲ ^d	۰/۰۱۵ ^e	۰/۴۶۳ ^{a-d}	۰/۲۶۳ ^k	۲/۷۲ ^{a-d}	۲/۶ ^{a-e}
میلوا	۱۶/۱ ^b	۱/۵ ^f	۱۴۸ ^{e-g}	۲۶۵ ^{bc}	۰/۰۸۳ ^{cd}	۰/۰۲ ^e	۰/۴۳۶ ^{b-g}	۰/۳۲۵ ^{i-k}	۲/۸۴ ^{ab}	۳/۰۶ ^a
ساتینا	۱۷/۴ ^{ab}	۱/۵۳ ^f	۱۶۵ ^{ef}	۲۶۳ ^{bc}	۰/۱۱۷ ^{ab}	۰/۰۲ ^e	۰/۵ ^a	۰/۴۶۶ ^{a-d}	۱/۹۵ ^{fg}	۳/۱۴ ^a
جلی	۱۵/۱ ^{b-d}	۱/۸۷ ^f	۴۴/۵ ⁱ	۲۳۰ ^{cd}	۰/۱۲۵ ^a	۰/۰۲۵ ^e	۰/۵ ^a	۰/۴۰۴ ^{d-g}	۲/۰۷ ^{e-g}	۲/۸ ^{ab}
اسپریت	۱۷/۳ ^{ab}	۰/۹۳ ^f	۸۹/۰ ^{hi}	۳۰۱ ^b	۰/۱۱۲ ^b	۰/۰۲ ^e	۰/۴۵۷ ^{a-e}	۰/۳۴ ^{h-j}	۲/۰۸ ^{e-g}	۳/۰۲ ^a

برای هر صفت میانگین‌هایی که دارای حداقل یک حرف مشترک می‌باشند در سطح احتمال ۵ درصد آزمون LSD اختلاف معنی‌داری ندارند. عدد داخل پرانتز درصد تغییرات صفت مورد نظر در شرایط تنش نسبت به شاهد را نشان می‌دهد.

آب گلدان در مقایسه با شاهد (۳۵ درصد تخلیه) به طور معنی دار کاهش یافت.

در این آزمایش، شاخص تحمل به تنش (STI) جهت ارزیابی میزان تحمل ارقام سیب زمینی نسبت به تنش کم آبی اعمال شده در مرحله رشد رویشی محاسبه گردید. بر این اساس مقادیر شاخص تحمل برای ارقام سیب زمینی برابر ۰/۷۶۰ (آگریا)، ۰/۶۱۷ (ساتینا)، ۰/۵۹۸ (مارفونا)، ۰/۳۵۱

در مقایسه با ۴۰٪ تخلیه آب قابل استفاده خاک) بر روی ارقام مارفونا، آگریا و دراگا، درصد ماده خشک و عملکرد آنها به شدت کاهش یافت. در آزمایش ایشان بیشترین و کمترین کاهش عملکرد به ارقام آگریا و دراگا ولی بیشترین و کمترین کاهش ماده خشک به ارقام مارفونا و دراگا تعلق داشت. در مطالعه Lu و همکاران (۲۰۱۰) وزن خشک اندام هوایی سیب زمینی شیرین در شرایط آبیاری پس از تخلیه ۶۰ و ۸۵ درصد

ادامه جدول ۵- اثر متقابل رقم و رژیم آبیاری (۳۰ و ۸۰ درصد تخلیه رطوبت) بر صفات نسبت کلروفیل کل به کاروتنوئید، وزن خشک گیاه (گرم در بوته)، فعالیت آنزیم کاتالاز و پراکسیداز (میکرومول/ دقیقه/ میلی گرم پروتئین).

ارقام سبب زمینی	نسبت کلروفیل کل به کاروتنوئید		وزن خشک گیاه		کاتالاز		پراکسیداز	
	شاهد (۳۰٪)	کم آبی (۸۰٪)	شاهد	کم آبی	شاهد	کم آبی	شاهد	کم آبی
آگریا	۳/۹۶ ^{ef}	۴/۲۹ ^{c-f}	۲۵/۸۹ ^a	۷/۶۶ ^{g-i}	۵/۰۷ ^e	۱۳/۲ ^d	۱/۷۹۷ ^{fgh}	۳/۷۳ ^{de}
آریندا	۴/۴۵ ^{c-f}	۴/۴۳ ^{c-f}	۱۱/۸۴ ^{c-e}	۴/۵۱ ^{jk}	۷/۱۴ ^e	۲۰/۵ ^b	۱/۹۷ ^{fgh}	۶/۳۶ ^b
مارفونا	۴/۲۸ ^{c-f}	۵/۸۹ ^a	۱۹/۴۳ ^b	۷/۹۵ ^{f-h}	۱۲/۱۴ ^d	۲۴/۸ ^a	۲/۹۳ ^{ef}	۷/۷۹ ^a
بامبا	۴/۶ ^{c-e}	۴/۷۸ ^{b-d}	۱۴/۸ ^c	۴/۹۸ ^{h-k}	۶/۲۶ ^e	۱۷/۴ ^{bc}	۱/۲۸ ^h	۵/۲۱ ^{bc}
بورن	۴/۴۲ ^{c-f}	۴/۹۹ ^{bc}	۹/۳۷ ^{e-g}	۲/۱۸ ^k	۵/۳۵ ^e	۲۷/۳ ^a	۱/۵۷ ^{gh}	۷/۷۳ ^a
سانته	۴/۴۶ ^{c-f}	۳/۷۳ ^f	۱۱/۰۲ ^{d-f}	۷/۱۴ ^{g-j}	۶/۷۹ ^e	۱۷/۵ ^{bc}	۱/۷۸ ^{fgh}	۵/۸۷ ^b
میلوا	۴/۷۵ ^{cd}	۴/۷۵ ^{cd}	۱۳/۶۵ ^{cd}	۳/۸۱ ^k	۵/۶۵ ^e	۱۱/۸ ^d	۱/۴۰۳ ^h	۲/۶۲ ^{efg}
ساتینا	۴/۷۹ ^{b-d}	۵/۵۴ ^{ab}	۲۰/۸۳ ^b	۷/۷۴ ^{g-i}	۶/۴۷ ^e	۱۲/۰ ^d	۱/۵۰ ^{gh}	۳/۶۱ ^{de}
جلی	۴/۱۹ ^{d-f}	۴/۸۲ ^{b-d}	۱۴/۸۲ ^c	۳/۸۹ ^k	۵/۰۲ ^e	۱۷/۲ ^c	۱/۵۷ ^{gh}	۵/۳۶ ^{bc}
اسپریت	۴/۱۳ ^{d-f}	۴/۹۱ ^{b-d}	۱۹/۳۸ ^b	۴/۷۱ ^{i-k}	۸/۰۵ ^e	۱۸/۳ ^{bc}	۱/۷۸ ^{fgh}	۴/۳۰ ^{cd}
		(۱۸/۹)		(۷۵/۷)		(۱۲۸)		(۱۴۲)

برای هر صفت میانگین‌هایی که دارای حداقل یک حرف مشترک می‌باشند در سطح احتمال ۵ درصد آزمون LSD اختلاف معنی‌داری ندارند. عدد داخل پرانتز درصد تغییرات صفت مورد نظر در شرایط تنش نسبت به شاهد را نشان می‌دهد.

کلروفیل کل، کاروتنوئید و وزن خشک کل بوته، دومین مولفه (PC2)، همبستگی مثبت و بالایی با صفات کارائی کوانتومی فتوسیستم II، فتوستنز، هدایت روزنه‌ای و کارائی مصرف آب و سومین مولفه (PC3)، همبستگی مثبت و بالایی با صفات غلظت دی اکسید کربن در حفره زیر روزنه، تعرق و نسبت کلروفیل کل به کاروتنوئید نشان داد. مقادیر بالای این صفات نشان دهنده ظرفیت بالای فتوستنزی و تولید ماده خشک می‌باشد. گروه بندی ارقام سبب زمینی مورد مطالعه بر اساس مولفه‌های اصلی بای پلات ترسیم شد (شکل ۱). با توجه به

(اسپریت)، ۳۰۳٪، (سانته)، ۲۷۷٪، (بانبا)، ۲۲۴٪، (جلی)، ۲۰۷٪، (آریندا)، ۲۰۱٪، (میلوا) و ۰/۸۱٪ (بورن) بود، که ارقام دارای شاخص تحمل بالاتر نسبت به تنش کم آبی متحمل‌تر می‌باشند.

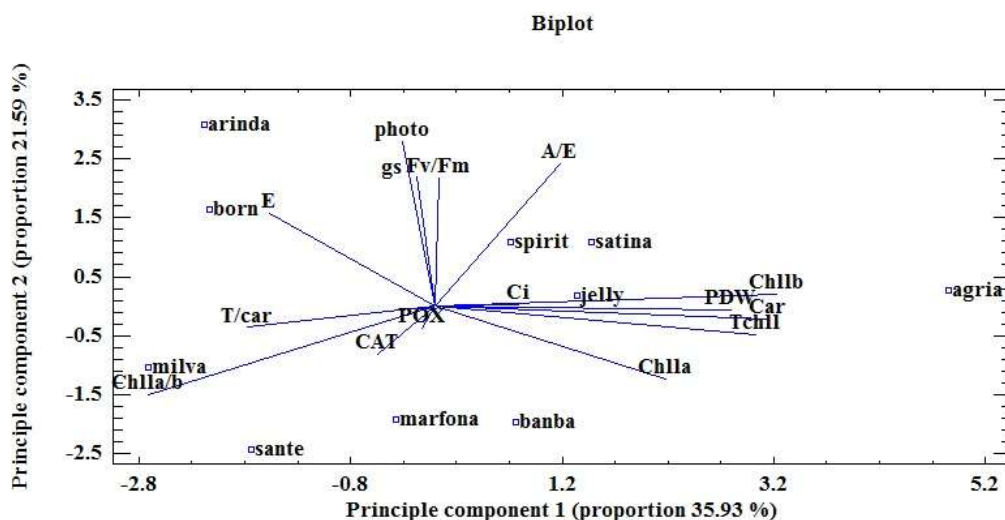
آنالیز بای پلات: تجزیه به مولفه‌های اصلی در آنالیز بای پلات نشان داد که این مولفه‌ها در شرایط نرمال و تنش کم آبی به ترتیب بیشتر از ۷۶ و ۷۵ درصد از واریانس کل را توجیه نمودند (جدول ۶). تحت وضعیت نرمال، اولین مولفه اصلی (PC1)، ارتباط مثبت و بالایی با صفات کلروفیل a، کلروفیل b،

جدول ۶- تجزیه به مولفه‌های اصلی بر اساس صفات اندازه گیری شده تحت دو وضعیت نرمال و تنش کم آبی

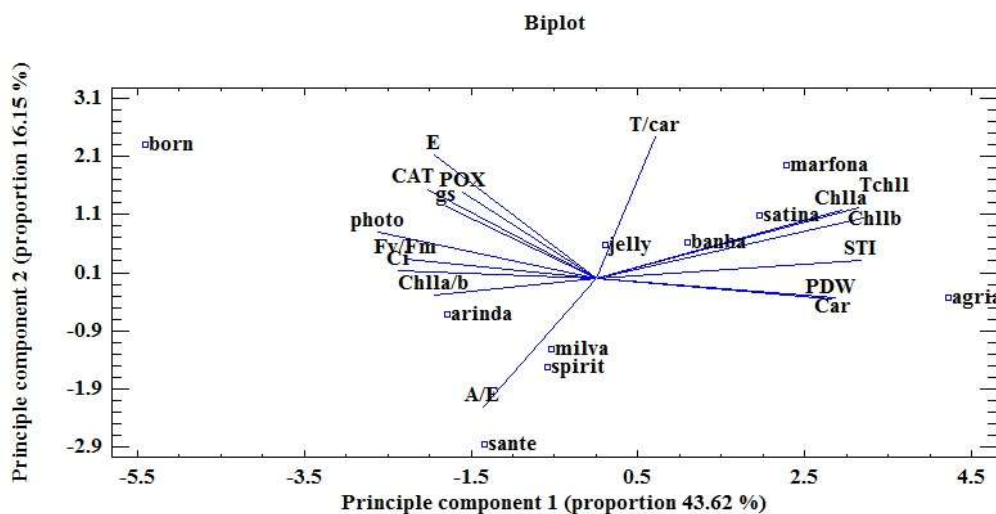
۸۰٪ تخلیه آب			۳۰٪ تخلیه آب			صفات
PC3	PC2	PC1	PC3	PC2	PC1	
-۰/۱۲۳	۰/۰۶۴	-۰/۲۳۶	-۰/۱۹۹	۰/۳۹۱	۰/۰۰۵	کارایی کوانتومی فتوسیستم II
۰/۰۴۴	۰/۱۵۴	-۰/۲۷۳	۰/۰۸۷	۰/۵۰۳	-۰/۰۴۱	فتوستنز
-۰/۲۸۸	۰/۰۲۸	-۰/۲۴۷	۰/۱۲۸	۰/۰۰۶	۰/۱۰۴	غلظت دی اکسید کربن
-۰/۳۸۱	۰/۲۴۱	-۰/۱۸۷	۰/۰۷۵	۰/۳۹۸	-۰/۰۲۲	هدایت روزنه
-۰/۰۵۵	۰/۴۱۲	-۰/۲۰۲	۰/۳۲۸	۰/۲۸۵	-۰/۲۰۷	تعرق
۰/۱۳۹	-۰/۴۲۹	-۰/۱۴۱	-۰/۱۵۷	۰/۴۳۵	۰/۱۵۶	کارایی مصرف آب
-۰/۲۵۶	۰/۲۲۸	۰/۳۰۶	۰/۳۱۸	-۰/۲۲۴	۰/۲۸۷	کلروفیل a
۰/۰۵۵	۰/۲۰۴	۰/۳۳۳	۰/۰۲۵	۰/۰۳۵	۰/۴۲۷	کلروفیل b
-۰/۱۶۶	۰/۲۳۵	۰/۳۲۷	۰/۱۷۶	-۰/۰۸۹	۰/۳۹۹	کلروفیل کل
-۰/۱۶۹	-۰/۰۶۴	۰/۲۹۸	۰/۰۴۲	-۰/۰۳۸	۰/۴۱۴	کاروتنوئید
-۰/۴۴۸	-۰/۰۵۶	-۰/۲۰۲	۰/۰۹۷	-۰/۲۷	-۰/۳۵۷	نسبت کلروفیل a/b
-۰/۰۰۰۲	۰/۴۷۳	۰/۰۷۳	۰/۲۸۹	-۰/۰۶۵	-۰/۲۳۴	نسبت کلروفیل کل به کاروتنوئید
۰/۲۲۱	-۰/۰۶۷	۰/۲۹۳	-۰/۱۲۶	-۰/۰۱۳	۰/۳۶۸	وزن خشک گیاه (گرم)
۰/۳۸۲	۰/۲۹۸	-۰/۲۰۹	-۰/۴۹۱	-۰/۱۴۷	-۰/۰۷۱	فعالیت کاتالاز
۰/۴۵۹	۰/۲۸۷	-۰/۱۶۶	-۰/۵۵۹	-۰/۰۶۹	-۰/۰۱۶	فعالیت پراکسیداز
۰/۰۴۶	۰/۰۶	۰/۳۳۰	-	-	-	شاخص تحمل به تنش
۲/۴۹	۲/۵۸	۶/۹۸	۱/۷۷	۳/۲۳	۵/۳۹	Eigenvalue
۱۵/۵۸	۱۶/۱۵	۴۳/۶۲	۱۸/۴۸	۲۱/۵۹	۳۵/۹۳	Percent of variation
۷۵/۳۵	۵۹/۷۷	۴۳/۶۲	۷۶/۰۱	۵۷/۵۲	۳۵/۹۳	Cumulative percentage

اصلی اول و دوم بالا) و غلظت دی اکسید کربن در حفره زیر روزنه و تعرق بالا (مولفه اصلی سوم مثبت) در شرایط نرمال را

نتایج حاصل از آنالیز بای پلات، ارقام آگریا، ساتینا، اسپریت و مارفونا دارای ظرفیت فتوستنزی و ماده خشک بالا (مولفه



شکل ۱- بای پلات بر اساس صفات اندازه گیری شده در وضعیت نرمال. در این شکل Fv/Fm (کارائی کوانتومی فتوسیستم II)، photo (فتوستتز)، ci (غلظت دی اکسید کربن در حفره زیر روزنه)، gs (هدایت روزنه)، E (تعرق)، A/E (کارائی مصرف آب)، Chlla (کلروفیل (کلروفیل a)، Chllb (کلروفیل b)، Tchll (کلروفیل کل)، Car (کاروتنوئید)، a/b (نسبت کلروفیل a/b)، T/car (نسبت کلروفیل کل به کاروتنوئید)، PDW (وزن خشک کل بوته)، CAT (کاتالاز) و POX (پراکسیداز).



شکل ۲- بای پلات بر اساس صفات اندازه گیری شده در وضعیت تنش کم آبی. در این شکل Fv/Fm (کارائی کوانتومی فتوسیستم II)، photo (فتوستتز)، ci (غلظت دی اکسید کربن در حفره زیر روزنه)، gs (هدایت روزنه)، E (تعرق)، A/E (کارائی مصرف آب)، Chlla (کلروفیل (کلروفیل a)، Chllb (کلروفیل b)، Tchll (کلروفیل کل)، Car (کاروتنوئید)، a/b (نسبت کلروفیل a/b)، T/car (نسبت کلروفیل کل به کاروتنوئید)، PDW (وزن خشک کل بوته)، CAT (کاتالاز)، POX (پراکسیداز) و STI (شاخص تحمل به کم تنش).

دارا می‌باشند. مثبت و بالائی با کلروفیل a، کلروفیل b، کلروفیل کل، کاروتنوئید، وزن خشک کل بوته و شاخص تحمل به تنش تحت وضعیت تنش کم آبی مولفه اصلی اول همبستگی

II، سرعت فتوسنتز، هدایت روزنه‌ای، کارائی مصرف آب، محتوای کلروفیل، کاروتنوئید و وزن خشک گیاه کاهش ولی غلظت دی اکسید کربن در حفره زیر روزنه، نسبت کلروفیل a به کلروفیل b و نسبت کلروفیل به کاروتنوئید افزایش یافت. میزان کاهش وزن خشک گیاه در اثر تنش آب در بین ارقام مورد مطالعه از ۳۵ (رقم ساته) تا ۷۷ درصد (رقم بون) متغیر بود. بیشترین وزن خشک گیاه در شرایط بدون تنش به رقم آگریا و در شرایط تنش به رقم مارفونا تعلق داشت. با توجه به نتایج حاصل از بای پلات ویژگی‌های محتوای کلروفیل و کاروتنوئید بیشترین ارتباط را با صفت وزن خشک بوته هم در شرایط نرمال و هم در تنش نشان دادند و بنابراین به نظر می‌رسد ویژگی قابل انتخاب برای بهبود ارقام سیب زمینی مقاوم به تنش کم آبی اعمال شده در مرحله رشد رویشی باشند.

نشان داد. لذا انتخاب براساس ارزش بالای مولفه اصلی اول می‌تواند منجر به انتخاب ارقام با ظرفیت فتوسنتزی بالا و افزایش مقاومت به تنش کم آبی گردد. از سوی دیگر، دومین مولفه اصلی (PC2) همبستگی مثبت بالایی با هدایت روزنه‌ای، تعرق و نسبت کلروفیل کل به کاروتنوئید داشت. همچنین سومین مولفه اصلی (PC3) همبستگی مثبت بالایی با فعالیت آنزیم‌های کاتالاز و پراکسیداز داشت. لذا ارقام با PC1 بالا مناسب در شرایط تنش کم آبی هستند (شکل ۲). براساس نتایج اولین، دومین و سومین مولفه در شرایط تنش کم آبی، به نظر می‌رسد که به ترتیب ارقام آگریا، مارفونا و ساتینا با مقادیر بالا و مثبت اولین و دومین مولفه اصلی از نظر تولید ماده خشک برای شرایط تنش کم آبی مناسب باشند.

نتیجه گیری

در این تحقیق در اثر تنش کم آبی کارائی کوانتومی فتوسیستم

منابع

- باقری، ح. ر.، قرینه، م. ح.، بخشنده، ع. ا.، طایی، ج.، محنت کش، ع. ا. و اندرزیان، و. ب. (۱۳۹۳) اثر تنش خشکی و مقدار نیتروژن بر عملکرد و برخی صفات کیفی و فیزیولوژیک سیب زمینی در شرایط آب و هوایی چهار محال و بختیاری. فصل نامه پژوهشی فیزیولوژی گیاهان زراعی - دانشگاه آزاد اسلامی واحد اهواز ۲۲: ۲۲-۵.
- ترکش اصفهانی، س. (۱۳۸۴) مقایسه عملکرد ارقام امریکایی و اروپایی سیب زمینی (*Solanum tuberosum L.*) در منطقه بروجن و بررسی تنوع ژنتیکی ارقام با استفاده از نشانگر ملوکولی AFLP. پایان نامه کارشناسی ارشد اصلاح نباتات، دانشکده کشاورزی، دانشگاه شهر کرد.
- خواجه پور، م. ر. (۱۳۸۵) گیاهان صنعتی. انتشارات جهاد دانشگاهی واحد صنعتی اصفهان.
- خورشیدی بنام، م. ب.، رحیم زاده، خ. ف.، میرهادی، م. ج. و محمدی، ق. ن. (۱۳۸۱) بررسی اثرات تنش خشکی در مراحل رشد مختلف ارقام سیب زمینی. مجله علوم زراعی ایران ۴: ۵۸-۴۸.
- دولت آبادیان، آ.، مدرس ثانوی، س. ع. م.، و شریفی، م. (۱۳۸۸) اثر تنش کم آبی و محلول پاشی اسید آسکوربیک بر میزان فعالیت آنزیم‌های آنتی اکسیدان و برخی تغییرات بیوشیمیایی در برگ ذرت دانه‌ای (*Zea maize L.*). مجله زیست شناسی ایران ۲۲: ۴۲۲-۴۰۷.
- نجف زاده، س.، و احسانپور، ع. ا. (۱۳۹۱) اثر تنش خشکی بر برخی از شاخص‌های فیزیولوژیکی دو رقم سیب زمینی (*concord and kenebec*) در شرایط درون شیشه. دو فصلنامه علمی - پژوهشی خشک بوم ۲: ۸۲-۷۰.

Aebi, H. (1984) Catalase in vitro. *Methods of Enzymology* 105: 121-126.

Anosheh, H. P., Emam, Y., Ashraf, M. and Foolad, M. R. (2012) Exogenous application of salicylic acid and chlormequat chloride alleviates negative effects of drought stress in wheat. *Advanced Studies in Biology* 4: 501-520.

- Bradford, M. M. (1976) A rapid and sensitive method for the quantitation of microgram quantities of protein utilizing the principle of protein-dye binding. *Analytical Biochemistry* 72: 248-254.
- Breusegem, F. V., Vranova, E., Dat, J. F. and Inze, D. (2001) The role of active oxygen species in plant signal transduction. *Plant Science* 161: 405-414.
- Cheng, Y. J., Deng, X. P., Kwak, S. S., Chen, W. and Eneji, A. E. (2013) Enhanced tolerance of transgenic potato plants expressing choline oxidase in chloroplasts against water stress. *Botanical Studies* 54: 1-9.
- Cornic, G. and Massacci, A. (1996) Leaf photosynthesis under drought stress. In: *Photosynthesis and the environment* (ed. Baker, N. R.) Kluwer Academic Publishers, The Netherlands.
- Ebrahimiyan, M., Majidi, M. M., Mirlohi, A. and Noroozi, A. (2013) Physiological traits related to drought tolerance in tall fescue. *Euphytica* 190: 401-414.
- Fao, (2014) Production-crops. food and agriculture organization of the united nations. Available at: www.Faostat.Fao.org.
- Farhad, M. S., Babak, A. M. and Reza, Z. M. (2011) Response of proline, soluble sugars, photosynthetic pigments and antioxidant enzymes in potato (*Solanum tuberosum* L.) to different irrigation regimes in greenhouse condition. *Australian Journal of Crop Science* 5: 55-60.
- Farooq, M., Wahid, A., Kobayashi, N., Fujita, D. and Basra, S. M. A. (2009) Plant drought stress, effects, mechanisms and management. *Agronomy for Sustainable Development* 29: 185-212.
- Fernandez, G. C. (1992) Effective selection criteria for assessing plant stress tolerance. In: *Proceedings of the International Symposium on Adaptation of Vegetables and Other Food Crops in Temperature and Water Stress*, Taiwan.
- Jenks, M. A., Hasegawa, P. M. and Jain, S. M. (2007) *Advances in Molecular Breeding Toward Drought and Salt Tolerant Crops*. Dordrecht, Netherlands.
- Lahlou, O., Ouattar, S. and Ledent, J. F. (2003) The effect of drought and cultivar on growth parameters, yield and yield components of potato. *Agronomy Journal* 23: 257-268.
- Li, D., Li, C., Sun, H., Liu, L. and Zhang, Y. (2012) Photosynthetic and chlorophyll fluorescence regulation of upland cotton (*Gossypium hirsutum* L.) under drought conditions. *Plant Omics Journal* 5: 432-437.
- Lichtenthaler, H. K. (1987) Chlorophylls and carotenoids: Pigments of photosynthetic biomembranes. *Methods in Enzymology* 148: 350-382.
- Lu, Y. Y., Deng, X. P. and Kwak, S. S. (2010) Over expression of CuZn superoxide dismutase (CuZnSOD) and ascorbate peroxidase (APX) in transgenic sweet potato enhances tolerance and recovery from drought stress. *African Journal of Biotechnology* 9: 8378-8391.
- Mahajan, S. and Tuteja, N. (2005) Cold, salinity and drought stresses: An overview. *Archives of Biochemistry and Biophysics* 444: 139-158.
- Mittler, R. (2002) Oxidative stress, antioxidants and stress tolerance. *Trends Plant Science* 7: 405-410.
- Mittler, R., Vanderauwera, S., Gollery, M. and Breusegem, F. V. (2004) Reactive oxygen gene network of plants. *Trends Plant Science* 9: 490-498.
- Monakhova, O. F. and Chernyadev, I. I. (2002) Protective role of kartolin-4 in wheat plants exposed to soil drought. *Applied Biochemistry and Microbiology* 38: 373-380.
- Rao, M. V., Paliyath, G. and Ormod, D. P. (1996) Ultraviolet-B radiation and ozone- induced biochemical changes in the antioxidant enzymes of *Arabidopsis thaliana*. *Plant Physiology* 110: 125-136.
- Reddy, A. R., Chaitanya, K. V. and Vivekanandan, M. (2004) Drought induced responses of photosynthesis and antioxidant metabolism in higher plants. *Journal of Plant Physiology* 161: 1189-1202.
- Sairam, R. K., Deshmukh, P. S. and Shukla, D. S. (1997) Tolerance to drought and temperature stress in relation to increased antioxidant enzyme activity in wheat. *Journal of Agronomy and Crop Science* 178: 171-177.
- Shi, S., Fan, M., Iwama, K., Li, F., Zhang, Z. and Jia, L. (2015) Physiological basis of drought tolerance in potato grown under long term water deficiency. *International Journal of Plant Production* 9: 305-320.
- Singh, R. J. (2007) Genetic resources, chromosome engineering, and crop improvement. *Vegetable Crops*. CRC, Press. 3: P. 558.
- Singh, J. and Kaur, L. (2009) *Advances in potato chemistry and technology*. Elsevier San Diego USA. 67: 556.
- Thangadurai, D., Tang, W. and Song, S. Q. (2007) *Plant Stress and Biotechnology*. Oxford Book Company, ISBN.
- Vreugdenhil, D., Bradshaw, J., Gebhardt, C., Govers, F. Mackerron, D. K. L., Taylor, M. and Ross, H. (2007) *Potato Biology and Biotechnology. Advances and Perspectives*. Wageningen, the Netherlands.
- Wahid, A. and Rasul, E. (2005) Photosynthesis in leaf, stem, flower and fruit. In: *Handbook of Photosynthesis* (ed. Pessaraki, M.) Pp. 479-497. CRC Press, Florida, USA.
- Wegener, C. B. and Jansen, G. (2013) Antioxidants in different potato genotypes: effect of drought and wounding stress. *Agriculture* 3: 131-146.

- Yamasaki, T., Yamakawa, T., Yamane, Y., Koike, H., Satoh, K. and Katoh, S. (2002) Temperature acclimation of photosynthesis and related changes in photosystem II electron transport in winter wheat. *Plant Physiology* 128: 1087-1097.
- Yordanov, I., Velikova, V. and Tsonev, T. (2000) Plant responses to drought, acclimation, and stress tolerance. *Photosynthetica* 38: 171-186.

Physiological tolerance and sensitivity to water deficit in potatoes cultivars

Mouhamad Alhoshan¹, Morteza Zahedi^{2*}, Ali Akbar Ramin¹ and Mohammad Reza Sabzalian²

¹Department of Horticulture, College of Agriculture, Isfahan University of Technology ²Department of Agronomy and Plant breeding, College of Agriculture, Isfahan Uni. of Technology

(Received: 20/12/2017, Accepted: 15/04/2018)

Abstract

In this study, the effects of water deficit on the physiological characteristics of ten potato cultivars at vegetative growth stage under greenhouse conditions were investigated at collage of agriculture of Isfahan University of Technology, Iran in 2016. Treatments included two irrigation regimes of 30 and 80% depletion of soil available water. Water stress decreased quantum efficiency of photosystem II, rate of photosynthesis, stomatal conductance, stomatal transpiration, water use efficiency, chlorophyll a, chlorophyll b, total chlorophyll, carotenoids and plant dry weight but increased carbon dioxide concentration in the sub-stomatal chamber, chlorophyll a/b ratio, chlorophyll/ carotenoids ratio. Significant difference existed among potato cultivars in terms of most measured traits. The interaction effects of irrigation regime and cultivar were significant on rate of photosynthesis, carbon dioxide concentration in the cavity below the hole, stomatal conductance, chlorophyll a, chlorophyll a/b ratio, chlorophyll / carotenoids ratio and plant dry weight. Under both irrigation regimes, the highest amount of plant dry weight was achieved for Marfona and Satina and the lowest weight was obtained for Born cultivar. Maximum reduction in plant dry weight under water stress treatment belonged to Born (77%) and Spirit (76%) and minimum reduction (35%) was obtained in Santa. Also, the highest increase in the activity of the catalase enzyme was 410 and 243% in Born and Jelly cultivars, and the lowest was 85% in the Satina cultivar. The highest increase in activity of enzyme peroxidase was found to be 393 and 308% in Born and Banba cultivars, and the lowest was 86% in Milva cultivar. In this experiment, based on stress tolerance index (STI), cultivars Agria, Santia, Marfona, Spirit and Sante compared to the other potato cultivars, were more tolerant to water stress that was imposed during vegetative stage of plants.

Keywords: Potato cultivars, Water deficit, Photosynthesis, Chlorophyll, Carotenoids, Stomatal conductance